

СУЖЕНИЕ ФОНОННЫХ СПУТНИКОВ В СПЕКТРАХ ЛЮМИНЕСЦЕНЦИИ МЕЛКИХ ЛОКАЛЬНЫХ ЭКСИТОНОВ

К. П. Мелетов, Э. И. Рашиба, Е. Ф. Шека

Обнаружено сужение фононных спутников в спектрах низкотемпературной (4,2К) люминесценции мелких локальных экситонов в изотопно примесных кристаллах дейтеронафтилинов по мере уменьшения глубины примесного уровня. Обнаруженный эффект является следствием частичной делокализации волновой функции экситона.

Приближение уровня локального экситона к краю экситонной зоны сопровождается прогрессивной делокализацией волновой функции экситона. Следствием делокализации является хорошо известное гигантское изменение интенсивности полосы локального экситона – ее разгорание или погасание [1]. В настоящей работе мы наблюдали родственный эффект в фононном крыле полосы люминесценции локального экситона. Здесь уменьшение глубины локального уровня сопровождается полной перестройкой формы крыла: в нем резко усиливаются участки, отвечающие вкладу длинноволновых фононов, и подавляются промежуточные области.

Возникающая картина отвечает постепенному переходу от типа поведения, отвечающего люминесценции глубоких уровней (широкое крыло, повторяющее взвешенную плотность состояний фононов), к типу поведения, отвечающего низкотемпературной люминесценции зонных экситонов — несколько узких спутников, отвечающих предельным частотам длинноволновых фононов [2].

Измерение спектров низкотемпературной люминесценции кристаллов нафтилина с изотопической примесью, молекулы которой образуют мелкий локальный уровень под дном экситонной зоны кристалла-растворителя, производилось для четырех примесных кристаллов: $C_{10}D_8$ с примесью $C_{10}H_8$, (ниже I); $C_{10}D_8$ с примесью $2\alpha-C_{10}H_6D_2$ (II); $2\alpha-C_{10}H_2D_6$ с примесью $C_{10}H_8$ (III); $.4\alpha-C_{10}H_4D_4$ с примесью $C_{10}H_8$ (IV). Глубина примесного уровня равна 49, 30, 18 и 8 см^{-1} для кристаллов I — IV, соответственно. Монокристаллы выращивались сублимацией в атмосфере азота и имели вид лепестков толщиной 50 — 100 мкм с развитой плоскостью ab . Люминесценция возбуждалась светом киловаттной ксеноновой лампы через монохроматор ДМР-4. Фотоэлектрическая регистрация спектров производилась с помощью спектрографа ДФС-13 с приставкой ФЭП-2. Спектры люминесценции регистрировались в области чисто электронного 00-перехода и вибронного 01-перехода с участием внутримолекулярного неполносимметричного колебания b_{3g} (509 см^{-1} для $C_{10}H_8$). Спектральная ширина щели составляла 3 см^{-1} .

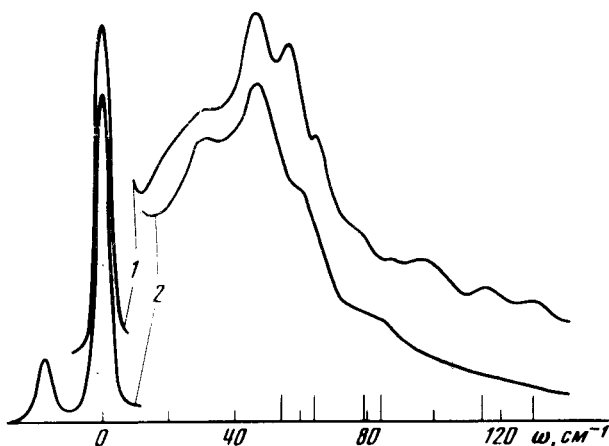


Рис. 1. Спектры люминесценции примеси $C_{10}H_8$ в $C_{10}D_8$ в области 00- (кривая 1) и 01- (кривая 2) переходов при 4,2К. Вертикальными отрезками указаны частоты предельных g -фононов кристалла $C_{10}D_8$ [3]

На рис. 1 приведены спектры люминесценции кристалла I при 4,2К (понижение температуры до 2К не приводит к существенным изменениям) в области 00- и 01-переходов. В обоих случаях спектр состоит из узкой (полуширина 4 — 8 см^{-1}) бесфононной линии (БФЛ) и протя-

женного ($120 - 140 \text{ см}^{-1}$) длинноволнового фононного крыла (ФК). Между БФЛ и ФК обоих переходов имеется существенное различие.

БФЛ 01-перехода дублетна. Более интенсивная полоса дублета соответствует переходам с возбуждением колебаний примесной молекулы, а менее интенсивная — колебаний молекул кристалла-растворителя. Такое расщепление БФЛ было обнаружено Броуде и др. [4] и затем повторно изучено в [5]. Оно связано с частичной делокализацией возбуждения на мелких примесных уровнях. Степень делокализации определяется отношением интенсивности "кристаллической" части БФЛ, отмеченной на рис. 1 звездочкой, к суммарной интенсивности БФЛ.

Различие ФК 00- и 01-переходов выражено в том, что в ФК 00-перехода появляется дополнительная структура, отсутствующая в 01-переходе. Задача настоящей работы состоит в выяснении механизма формирования этой структуры, которую мы связываем с длинноволновыми оптическими фононами.

При уменьшении глубины примесного уровня происходит эволюция БФЛ и ФК 00- и 01-переходов. Относительная интенсивность кристаллической компоненты дублета БФЛ 01-перехода растет, обе компоненты сближаются. ФК этого перехода практически при этом не меняется. Увеличение доли кристаллической компоненты дублета БФЛ означает увеличение делокализации примесного возбуждения [4]. В случае исследованных кристаллов степень делокализации увеличивается от 17% (кристалл I) до $\approx 50\%$ (кристалл IV) при изменении глубины уровня от 49 до 8 см^{-1} .

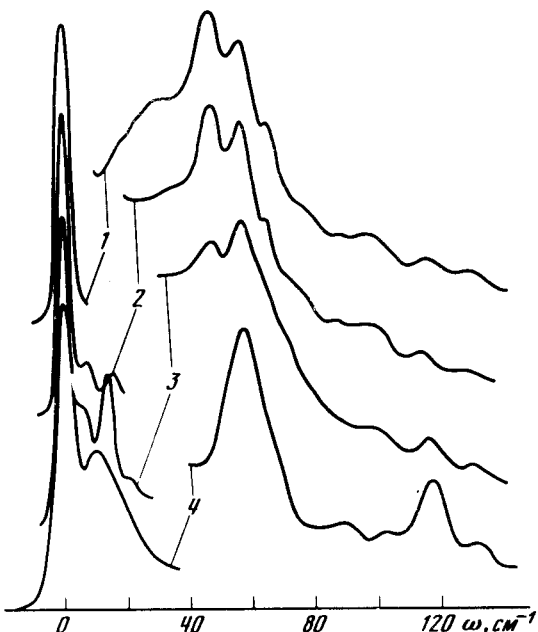


Рис. 2. Спектры люминесценции примеси C_{10}H_8 в C_{10}D_8 (кривая 1); $2\alpha\text{-C}_{10}\text{H}_6\text{D}_2$ в C_{10}D_8 (кривая 2); C_{10}H_8 в $2\alpha\text{-C}_{10}\text{H}_2\text{D}_6$ и $4\alpha\text{-C}_{10}\text{H}_4\text{D}_4$ (кривые 3 и 4, соответственно) в области 00-перехода при 4,2К

На рис. 2 представлены БФЛ и ФК 00-переходов в кристаллах I – IV. БФЛ одинаковы у всех кристаллов (дополнительная структура вблизи БФЛ у кристаллов II и III связана с наличием небольшого количества

действие примесей в препаратах). Положения максимумов полос ФК относительно БФЛ изменяются слабо. Напротив, интенсивность дополнительных полос ФК быстро возрастает при переходе от кристалла I к кристаллу IV. Именно этот экспериментальный факт является основным для предлагаемой интерпретации дополнительной структуры. Действительно, при уменьшении глубины уровней растет вклад длинноволновых составляющих в волновую функцию локального экситона; поэтому можно ожидать одновременного роста вклада длинноволновых фонов в ФК спектра примесной люминесценции.

Интенсивность основного максимума при 48 см^{-1} , обусловленного пиком плотности фононных состояний кристаллов-растворителей, отвечающим коротковолновым акустическим фононам [5], непрерывно падает, и в кристалле IV совсем исчезает. Вместо него появляется пик на расстоянии 12 см^{-1} от БФЛ, связанный с длинноволновыми акустическими фононами.

На рис. 3 приведены спектры люминесценции кристалла IV в области 00- и 01-переходов. БФЛ заметно уширена в 01-переходе по сравнению с 00-переходом из-за сильного перекрытия кристаллической и примесной компонент дублета БФЛ. Однако основным является различие в структуре ФК обоих переходов. По существу, структура ФК в 00-переходе определяется длинноволновыми акустическими и оптическими фононами кристалла-растворителя, и крайне напоминает спектр низкотемпературной собственной люминесценции [2]. Структура ФК 01-перехода по-прежнему (см. рис. 1) определяется взвешенной плотностью фононных состояний во всем \mathbf{k} -пространстве.

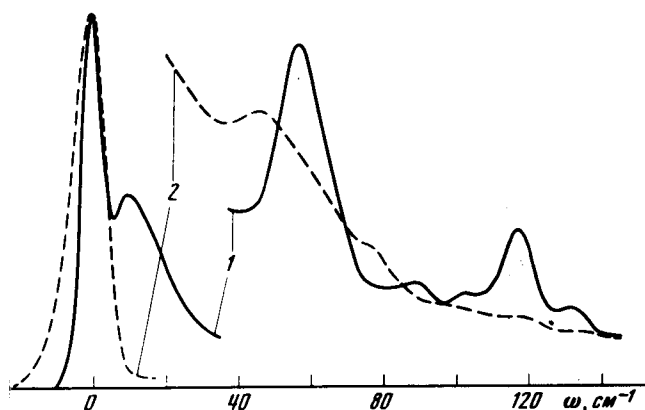


Рис. 3. Спектры люминесценции примеси C_{10}H_8 в $4\alpha\text{-C}_{10}\text{H}_4\text{D}_4$ в области 00- (кривая 1) и 01- (кривая 2) переходов при 4,2К

Строгий расчет подтверждает предложенную качественную картину. Мы приводим результат для случая, когда имеются только одна экситонная и одна фононная зоны, а матричный элемент экситон-фононного взаимодействия γ зависит только от фононного импульса \mathbf{q} . Тогда отношение матричных элементов перехода с испусканием решеточного фо-

нона \mathbf{q} к матричному элементу чисто электронного перехода:

$$m(\mathbf{q}) \sim \gamma(\mathbf{q}) \frac{G^o(0, \epsilon_i - \Omega(\mathbf{q}))}{G^o(0, \epsilon_i)} \left\{ G^o(\mathbf{q}, \epsilon_i) + \right.$$

$$\left. + \frac{v\Delta}{1 - \Delta G_o(\epsilon_i - \Omega(\mathbf{q}))} \int \frac{d^3k}{(2\pi)^3} G^o\left(k - \frac{\mathbf{q}}{2}, \epsilon_i - \Omega(\mathbf{q})\right) G^o\left(k + \frac{\mathbf{q}}{2}, \epsilon_i\right) \right\}.$$

Здесь $G^o(\mathbf{k}, \epsilon) = (\epsilon - \epsilon(\mathbf{k}))^{-1}$ — гриновская функция экситона в идеальном кристалле, $\epsilon(\mathbf{k})$ и $\Omega(\mathbf{q})$ — законы дисперсии экситона и фона, $G_o(\epsilon) = Sp G^o(\mathbf{k}, \epsilon)$, Δ — изотопический сдвиг электронного уровня в молекуле, ϵ_i — положение примесного уровня в кристалле, v — объем элементарной ячейки. Пусть дно экситонной зоны находится в $\mathbf{k} = 0$ (как это имеет место в нафталине), причем $\epsilon(0) = 0$. Ограничивааясь первым членом в скобке видим, что он убывает с ростом q тем быстрее, чем меньше глубина уровня $|\epsilon_i|$. С ростом q убывает также первый фактор $G^o(0, \epsilon_i - \Omega(\mathbf{q}))$. В результате при малых $|\epsilon_i|$ зоне оптических фонаров с шириной $\delta\Omega$ отвечает структура с шириной $\sim \delta\Omega(\epsilon_i/M)^2 \ll \delta\Omega$ вблизи $\Omega(0)$; M — полуширина экситонной зоны. Должен также возникать акустический спутник на расстоянии $\sim \min\{|\epsilon_i|, |\mu s^2 \epsilon_i|^{1/2}\}$ от электронной полосы; s — скорость звука, μ — эффективная масса экситона. В промежутках люминесценция должна ослабевать в сравнении со спектром глубоких центров.

Имеется общее качественное согласие между экспериментальными данными и теорией: спутник с частотой $\approx 120 \text{ см}^{-1}$ почти совпадает с предельной частотой a_g -фононов, возникает низкочастотный акустический спутник. Однако ситуация усложняется тем, что экситонная зона в нафталине является плоской в c -направлении, и вследствие этого значения k_c для примесных состояний, по-видимому, не являются малыми. Поэтому возможно, что основной максимум 59 см^{-1} (рис. 2, кривая 4) отвечает массиву b_g -фононов с малыми проекциями k_a и k_b и широким диапазоном k_c .

Мы с благодарностью вспоминаем плодотворные дискуссии с В.Л.Броуде на начальных стадиях этой работы.

Институт физики твердого тела
Академии наук СССР

Институт теоретической физики
им. Л.Д.Ландау
Академии наук СССР

Поступила в редакцию
28 декабря 1978 г.

Литература

- [1] Э.И.Рашба. Оптика и спектроскопия, 2, 568, 1957; В.Л.Броуде, Э.И.Рашба, Е.Ф.Шека. ДАН СССР, 139, 1085, 1961.

- [2] В.К.Долганов, К.П.Мелетов, Е.Ф.Шека. Изв. АН СССР, сер. физ., 39, 1900, 1975.
- [3] M.Ito, M.Suzuki, T.Yokoyama. In "Excitons, Magnons and Phonons in Molecular Crystals, Beirut, Lebanon, 15 – 18 Jan. 1968", London, Cambridge, 1968, p. 1.
- [4] В.Л.Броуде, А.И.Власенко, Э.И.Рашба, Е.Ф.Шека. ФТГ, 7, 2094, 1965.
- [5] F.W.Ochs, P.N.Prasad, R.Kopelman. Chem. Phys., 6, 253, 1974.
- [6] E.L.Bokhenkov, E.M.Rodina, E.F.Shekа, I.Natkaniec. Phys. Stat. Sol. (b), 85, 331, 1978.